

V404 のデータ解析

森井幹雄

平成 29 年 5 月 26 日

概 要

V404 のデータ解析のまとめ。

1 データ

V404 の Light curve を図 1 に示す。Light curve の詳細を 表 1 に示す。

(file 置場: /home/morii/work/v404/data/170412/)

Term1, Term2 について、optical, X-ray の light curve をそれぞれ、規格化すると、図 2, 3 のようになる。

2 解析方法

Fourier 変換の式は (Numerical Recipes[Press *et al.*(2007)] の (12.0.1) 式):

$$H(f) = \int_{-\infty}^{\infty} h(t) \exp(2\pi i f t) dt, \quad (1)$$

$$h(t) = \int_{-\infty}^{\infty} H(f) \exp(-2\pi i f t) df. \quad (2)$$

$h(t)$ が実数関数ならば $h(t)^* = h(t)$ なので、式 (1) より、

$$[H(f)]^* = \left[\int_{-\infty}^{\infty} h(t) \exp(2\pi i f t) dt \right]^* = \int_{-\infty}^{\infty} [h(t) \exp(2\pi i f t)]^* dt = \int_{-\infty}^{\infty} [h(t)]^* \exp(-2\pi i f t) dt \quad (3)$$

$$= \int_{-\infty}^{\infty} h(t) \exp(-2\pi i f t) dt = H(-f). \quad (4)$$

よって、 $H(f)$ の実部、虚部をそれぞれ $H_R(f)$, $H_I(f)$ とおくと、 $H_R(-f) + iH_I(-f) = H(-f) = [H(f)]^* = H_R(f) - iH_I(f)$ より、 $H_R(-f) = H_R(f)$, $H_I(-f) = -H_I(f)$ となるので、 $H_R(f)$, $H_I(f)$ はそれぞれ、偶関数、奇関数となる。よって、式 (2) は、

$$h(t) = \int_{-\infty}^{\infty} H(f) \exp(-2\pi i f t) df = \int_{-\infty}^{\infty} [H_R(f) + iH_I(f)] [\cos(2\pi f t) - i \sin(2\pi f t)] df \quad (5)$$

$$\begin{aligned} &= \int_{-\infty}^{\infty} [H_R(f) \cos(2\pi f t) + H_I(f) \sin(2\pi f t)] df + i \int_{-\infty}^{\infty} [H_I(f) \cos(2\pi f t) - H_R(f) \sin(2\pi f t)] df \\ &= 2 \int_0^{\infty} [H_R(f) \cos(2\pi f t) + H_I(f) \sin(2\pi f t)] df. \end{aligned} \quad (6)$$

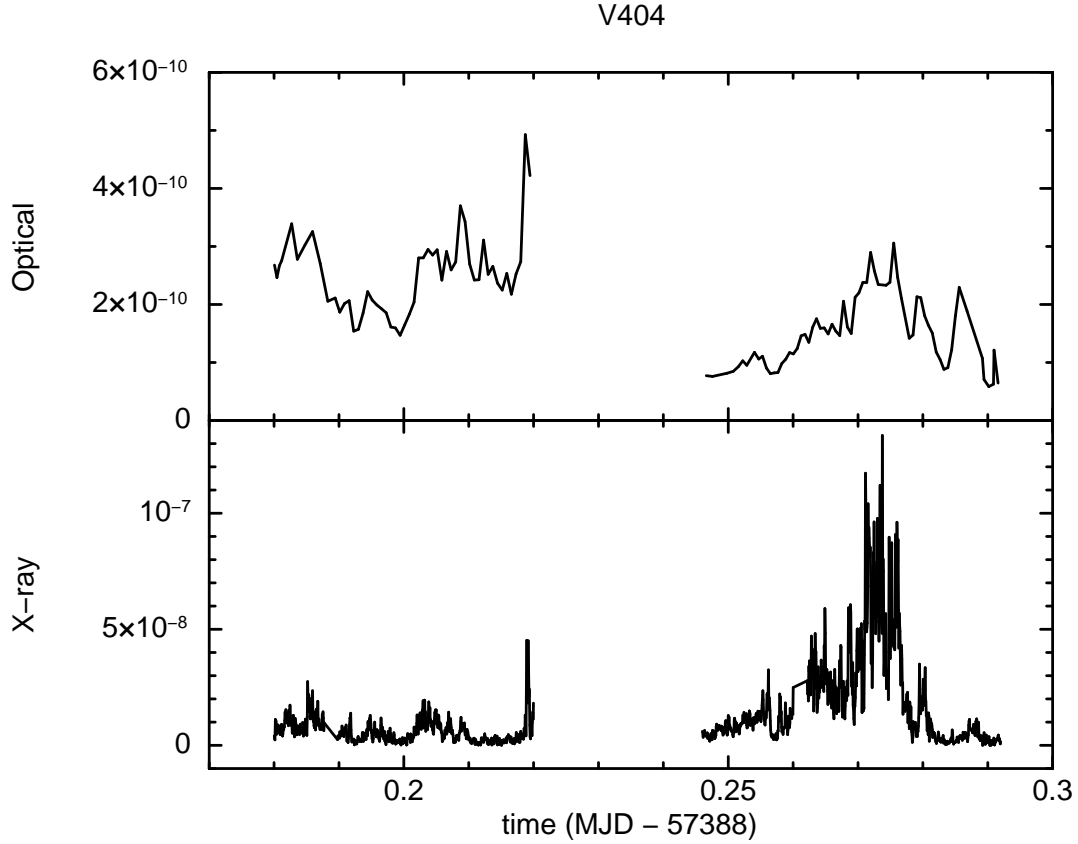


図 1: V404 の Light curve: term1 + term2

となる。観測される時系列のデータは、 $h(t)$ に相当する。この観測量から、周波数空間の関数 $H_R(f)$ と $H_I(f)$ を推定する問題を考える。

ある物理量 $h(t)$ が、時刻 $t = t_{st}$ から t_{ed} までの間に N 点観測されているとする。つまり、観測時刻は、 $t = t_1, t_2, \dots, t_N$ 。但し、観測時刻は必ずしも等間隔ではないとする。また、この物理量を周波数空間で観た場合、周波数空間上で f_{lo} から f_{up} の間だけに値があり、それ以外の周波数成分は無視できるほど小さいと仮定する。観測データ量が N で、 H_R と H_I の二つの関数の値を決めたいので、周波数空間を $N/2$ 個に分割しておくのが一般的であろう。しかし、本解析では、LASSO を用いるので、周波数空間の分割数はこれよりずっと大きくても構わない。そこで、周波数空間を $M/2$ 個に分割するものとする。周波数空間の分解能を、 $\Delta f = 2(f_{up} - f_{lo})/M$ とおき、 $M/2$ 個の周波数 $f_j = f_{lo} + \Delta f \times (j - 1/2)$ ($j = 1, 2, \dots, M/2$) における $H_R(f_j)$ と $H_I(f_j)$ の値を推定することにする。

このとき、式 (6) を近似すると、

$$h(t) \approx 2\Delta f \sum_{j=1}^{M/2} [H_R(f_j) \cos(2\pi f_j t) + H_I(f_j) \sin(2\pi f_j t)]. \quad (7)$$

表 1: Summary of data

| term 1 | | |
|---------------------------------------|-----------------------|-----------------------|
| | optical | X-ray |
| t_{st} (MJD) | 57388.18 | 57388.18 |
| t_{ed} (MJD) | 57388.22 | 57388.22 |
| $t_{\text{ed}} - t_{\text{st}}$ (d) | 0.039 | 0.040 |
| f_{min} (d^{-1}) | 2.5e+01 | 2.5e+01 |
| f_{max} (d^{-1}) | 2.9e+03 | 1.8e+04 |
| f_{main} (d^{-1}) | 1.4e+03 | 1.7e+04 |
| $N_{\text{f,main}}$ | 55 | 692 |
| file | optlc-vband-term1.bjd | xraylc-5sec-term1.bjd |
| term 2 | | |
| | optical | X-ray |
| t_{st} (MJD) | 57388.25 | 57388.25 |
| t_{ed} (MJD) | 57388.29 | 57388.29 |
| $t_{\text{ed}} - t_{\text{st}}$ (d) | 0.045 | 0.046 |
| f_{min} (d^{-1}) | 2.2e+01 | 2.2e+01 |
| f_{max} (d^{-1}) | 1.1e+04 | 1.8e+04 |
| f_{main} (d^{-1}) | 1.7e+03 | 1.7e+04 |
| $N_{\text{f,main}}$ | 75 | 796 |
| file | optlc-iband-term2.bjd | xraylc-5sec-term2.bjd |

観測時刻が t_i なので、

$$h(t_i) \approx 2\Delta f \sum_{j=1}^{M/2} [H_R(f_j) \cos(2\pi f_j t_i) + H_I(f_j) \sin(2\pi f_j t_i)] \quad (8)$$

となる ($i = 1, 2, \dots, N$)。

ベクトル \mathbf{x} を $\mathbf{x} = (\mathbf{x}_R, \mathbf{x}_I)^T$, $(\mathbf{x}_R)_j = H_R(f_j)$, $(\mathbf{x}_I)_j = H_I(f_j)$ で定義する。行列 A を

$$(A)_{i,j} = 2\Delta f \cos(2\pi f_j t_i) \quad (9)$$

$$(A)_{i,M/2+j} = 2\Delta f \sin(2\pi f_j t_i) \quad (10)$$

として定義する ($i = 1, 2, \dots, N; j = 1, 2, \dots, M/2$)。観測値のベクトル \mathbf{h} を、 $\mathbf{h} = \mathbf{b}$ とおくと、

$$\mathbf{b} \approx A\mathbf{x} \quad (11)$$

とかける。これは、 \mathbf{b} , A が既知で、 \mathbf{x} を推定する問題である。

観測データの点数 N より、推定したい周波数成分のベクトルの要素の数 M が大きい場合、不良設定問題となる。この問題を解くために、 \mathbf{x} の解がスパースであると仮定し、LASSO を用いることにする。ただし、

\mathbf{x} の $H_R(f_j)$ と $H_I(f_j)$ は同じ周波数に対応する成分であり、両方同時にゼロまたは、非ゼロの値にならなければならない。そこで、group LASSO を用いる。

3 定式化

3.1 時系列データが一つの場合

以下の cost function を最小化すればよい。

$$F(\mathbf{x}) = f(\mathbf{x}) + g(\mathbf{x}) = \|\mathbf{Ax} - \mathbf{b}\|^2 + \lambda \sum_{j=1}^{M/2} \sqrt{x_j^2 + x_{M/2+j}^2} \quad (12)$$

この問題を解くために、FISTA を用いる。具体的には、[Beck & Teboulle(2009)] の p194 の FISTA with backtracking のアルゴリズムで計算した。このアルゴリズム中に出てくる式を書き下すと、

$$Q_L(\mathbf{x}, \mathbf{y}) = f(\mathbf{y}) + \langle \mathbf{x} - \mathbf{y}, \nabla f(\mathbf{y}) \rangle + \frac{L}{2} \|\mathbf{x} - \mathbf{y}\|^2 + g(\mathbf{x}), \quad (13)$$

$$\nabla f(\mathbf{x}) = \nabla \|\mathbf{Ax} - \mathbf{b}\|^2 = 2\mathbf{A}^T(\mathbf{Ax} - \mathbf{b}), \quad (14)$$

$$\mathbf{z} = \mathbf{y} - \frac{1}{L} \nabla f(\mathbf{y}) = \mathbf{y} - \frac{2}{L} \mathbf{A}^T(\mathbf{Ax} - \mathbf{b}), \quad (15)$$

$$p_L(\mathbf{y}) = \arg \min_{\mathbf{x}} \left\{ g(\mathbf{x}) + \frac{L}{2} \left\| \mathbf{x} - \left(\mathbf{y} - \frac{1}{L} \nabla f(\mathbf{y}) \right) \right\|^2 \right\} \quad (16)$$

$$= \arg \min_{\mathbf{x}} \left\{ g(\mathbf{x}) + \frac{L}{2} \|\mathbf{x} - \mathbf{z}\|^2 \right\} \quad (17)$$

$$= \arg \min_{\mathbf{x}} \sum_{j=1}^{M/2} \left\{ \frac{L}{2} \left[(x_j - z_j)^2 + (x_{M/2+j} - z_{M/2+j})^2 \right] + \lambda \sqrt{x_j^2 + x_{M/2+j}^2} \right\} \quad (18)$$

$$= \arg \min_{\mathbf{x}} \sum_{j=1}^{M/2} l(x_j, x_{M/2+j}, z_j, z_{M/2+j}), \quad (19)$$

ここで、

$$l(x, y, a, b) = \frac{L}{2} \left[(x - a)^2 + (y - b)^2 \right] + \lambda \sqrt{x^2 + y^2} \quad (20)$$

とおく。これを、 x, y について最小化すると、

$$\arg \min_{x, y} l(x, y, a, b) = \frac{S_\lambda(L\sqrt{a^2 + b^2})}{L\sqrt{a^2 + b^2}} (a, b)^T \quad (21)$$

となる。ここで、 S_λ は soft thresholding operator で、

$$S_\lambda(x) = \begin{cases} x - \lambda & (\lambda < x) \\ 0 & (|x| \leq \lambda) \\ x + \lambda & (x < -\lambda) \end{cases} \quad (22)$$

なので、

$$S_\lambda(x)/x = \begin{cases} 1 - \lambda/x & (\lambda < x) \\ 0 & (|x| \leq \lambda) \\ 1 + \lambda/x & (x < -\lambda) \end{cases} . \quad (23)$$

これを使えば、ゼロで割る心配はない。

3.2 時系列データが二つの場合

Optical と X-ray の時系列データがあるとする。それぞれ、周波数成分を推定したい。Optical、X-ray の時系列データをそれぞれ、 $\mathbf{b}^{(1)}$ 、 $\mathbf{b}^{(2)}$ とする。それぞれのデータ数を、 N_1 、 N_2 とおく。Optical、X-ray の周波数成分ベクトルをそれぞれ $\mathbf{x}^{(1)}$ 、 $\mathbf{x}^{(2)}$ とおくと、解きたい問題は、 $\mathbf{b}^{(1)} \approx A^{(1)}\mathbf{x}^{(1)}$ 、 $\mathbf{b}^{(2)} \approx A^{(2)}\mathbf{x}^{(2)}$ である。また、 $\mathbf{x} = (\mathbf{x}^{(1)}, \mathbf{x}^{(2)})^T$ とまとめておく。

Optical と X-ray で共通に存在する周波数成分を抽出したいので、group LASSO を用いる。以下の const function を最小化すればよさそうである。

$$F(x) = f(x) + g(x) = f_1(x_1) + f_2(x_2) + g(x) \quad (24)$$

$$= \|A^{(1)}\mathbf{x}^{(1)} - \mathbf{b}^{(1)}\|^2 + \|A^{(2)}\mathbf{x}^{(2)} - \mathbf{b}^{(2)}\|^2 + \lambda \sum_{j=1}^{M/2} \sqrt{x_j^2 + x_{M/2+j}^2 + x_{M+j}^2 + x_{3M/2+j}^2}. \quad (25)$$

しかし、これだと、Optical と X-ray のデータ点の数が大きく異なる場合、データ点数が大きい方に重みがかかった解が得られるため良くない。データ点数の重み補正を行い、以下の cost function を最小化することにする。

$$F(x) = f(x) + g(x) = f_1(x_1) + f_2(x_2) + g(x) \quad (26)$$

$$= N_2 \|A_1\mathbf{x}_1 - \mathbf{b}_1\|^2 + N_1 \|A_2\mathbf{x}_2 - \mathbf{b}_2\|^2 + \lambda \sum_{j=1}^{M/2} \sqrt{x_j^2 + x_{M/2+j}^2 + x_{M+j}^2 + x_{3M/2+j}^2}. \quad (27)$$

4 Simulation

5 Cross Validation

6 term1

Cross Validation より、 $\lambda = XX$ を採用する。

7 Reconstructed light curve

7.1 component, term1

7.2 component, term2

7.3 Reconstructed light curve with lag plus/minus

7.3.1 term1

7.3.2 term2

7.3.3 lag plus/ minus

7.4 Time variation of weight of Lag

参考文献

- [Press *et al.*(2007)] W. H. Press *et al.* (2007) “Numerical Recipes”, Third Edition, Cambridge Univ. Press.
- [Beck & Teboulle(2009)] A. Beck & M. Teboulle (2009) SIAM J. Image Sciences, Vol.2, No.1, p183

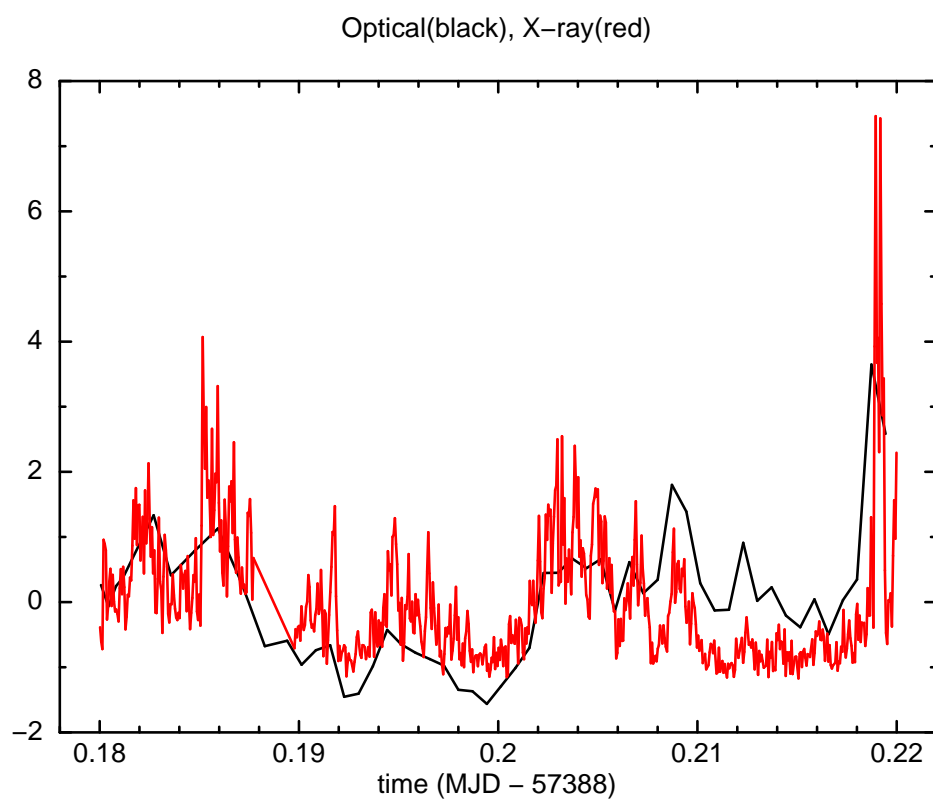


图 2: term1, standardized light curve

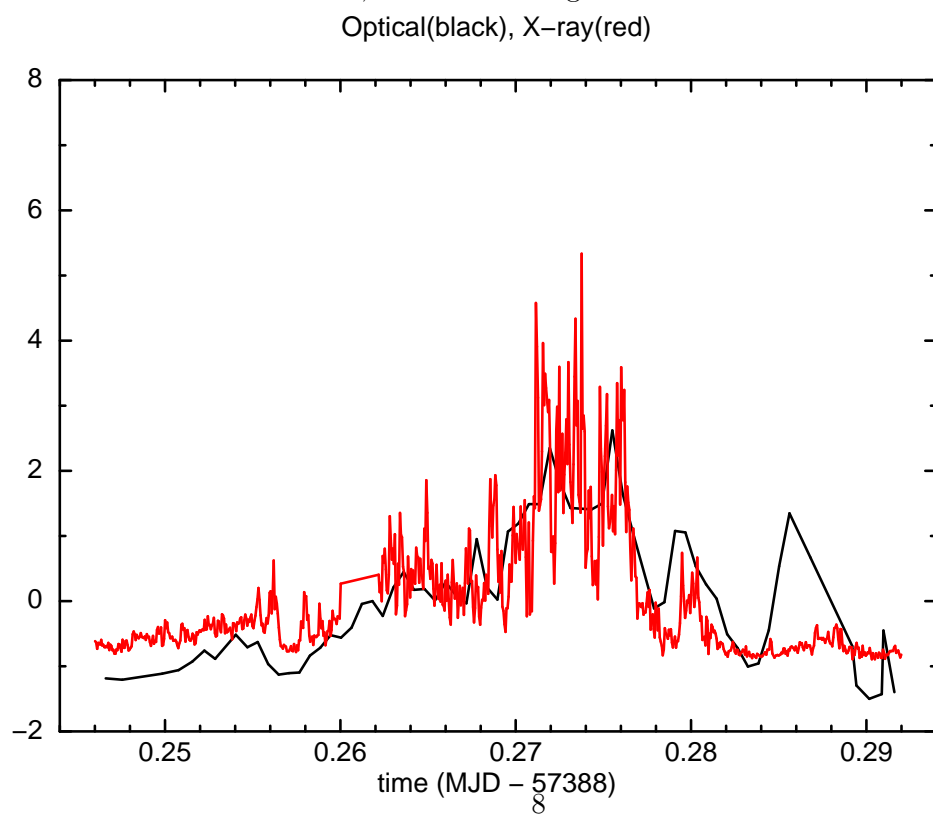
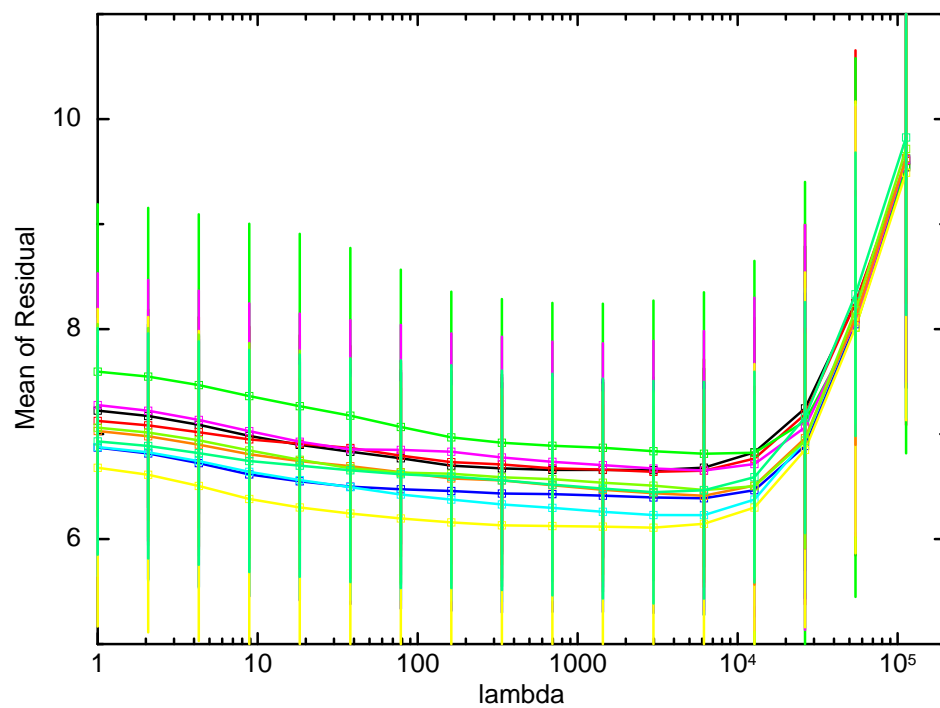


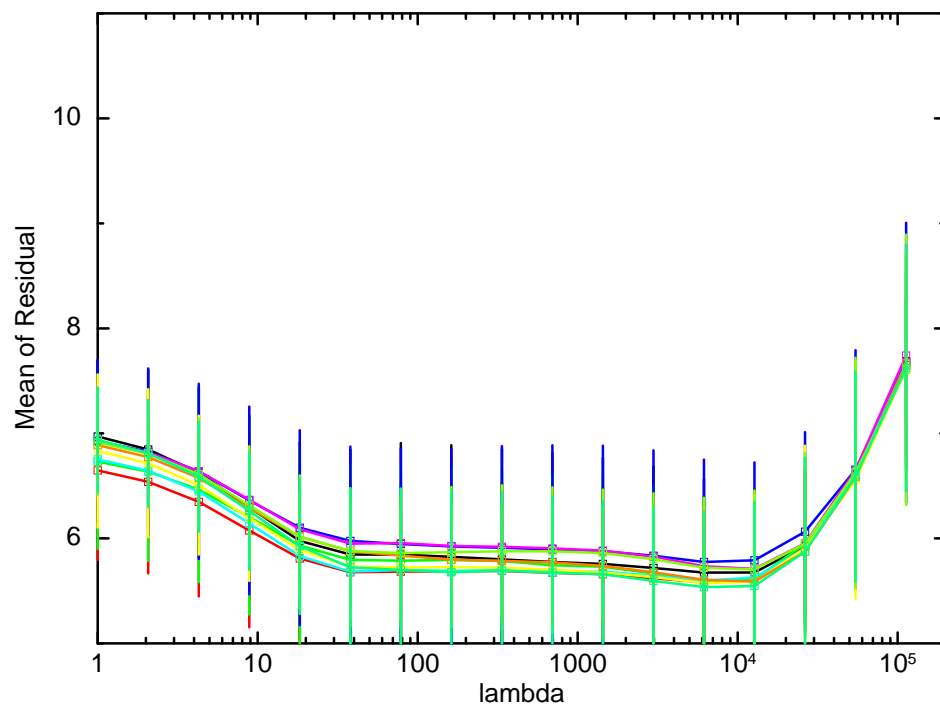
图 3: term2, standardized light curve

5-fold Cross Validation

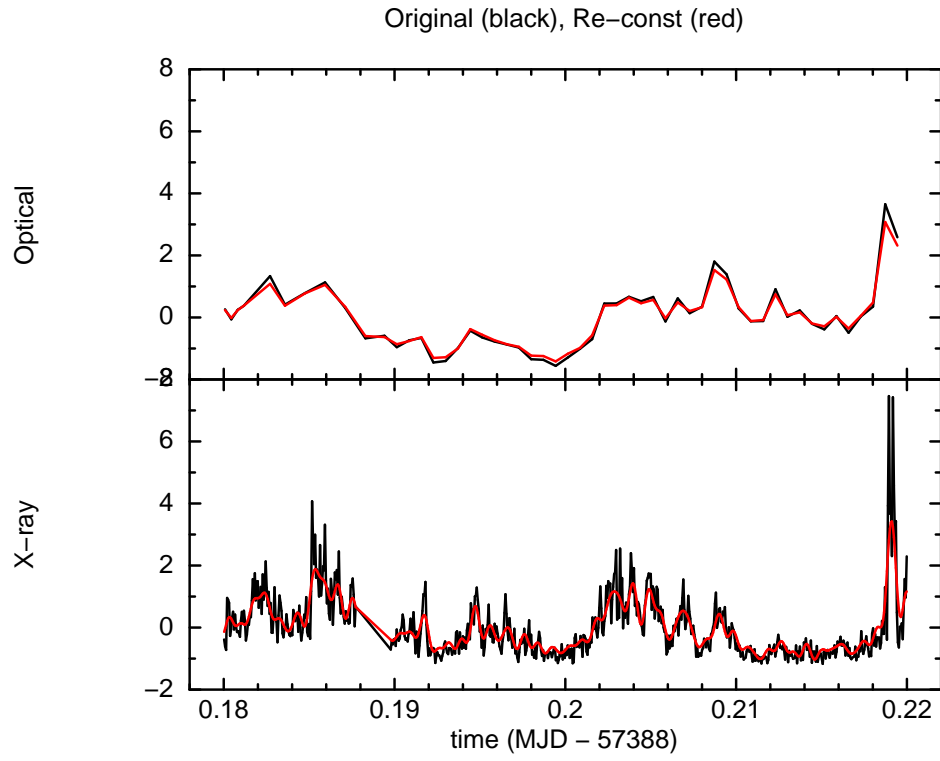


⊠ 4: term1, cross validation

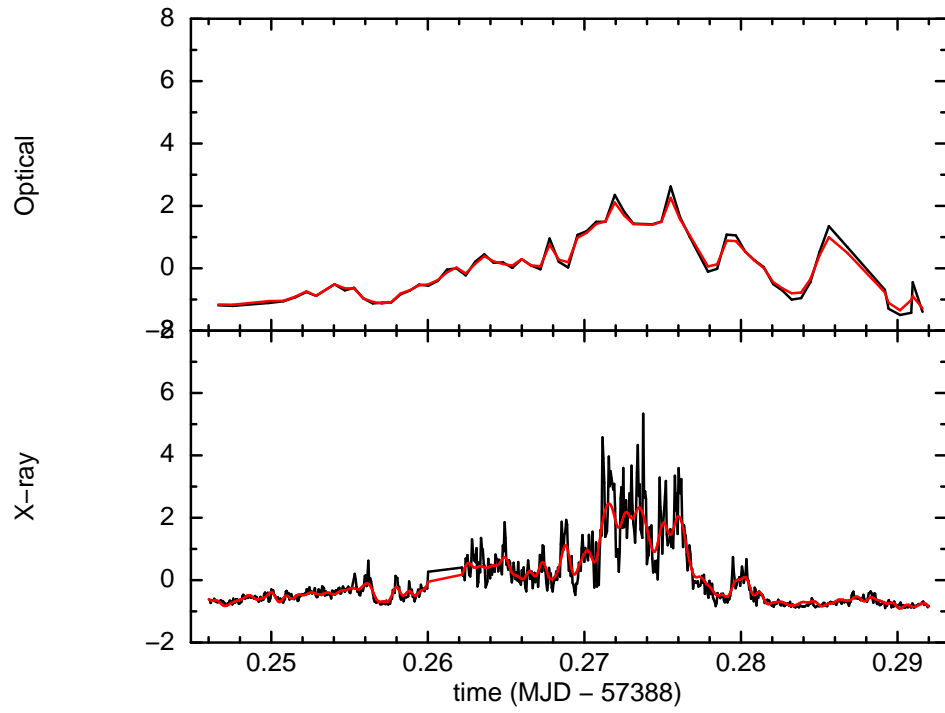
5-fold Cross Validation (term2)



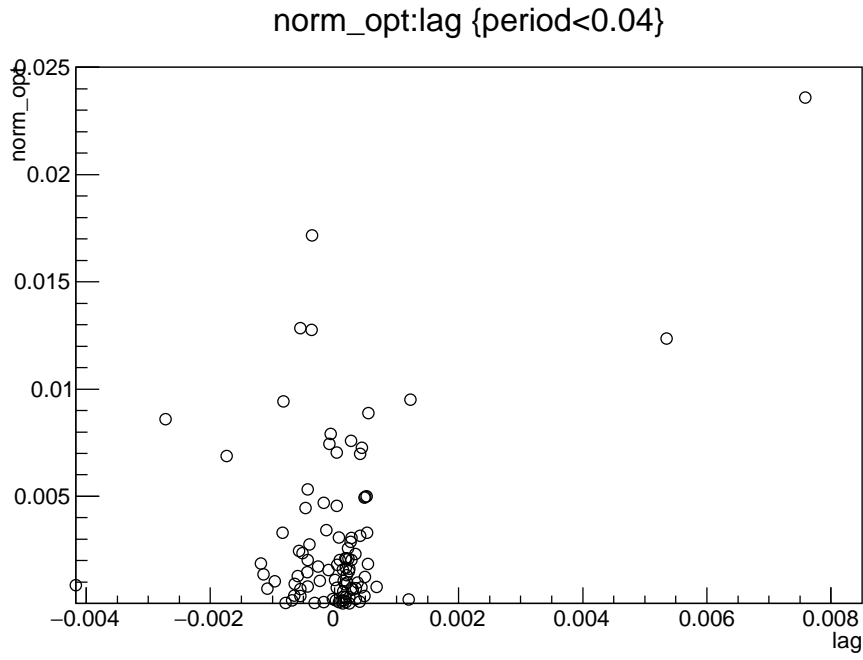
⊠ 5: term2, cross validation



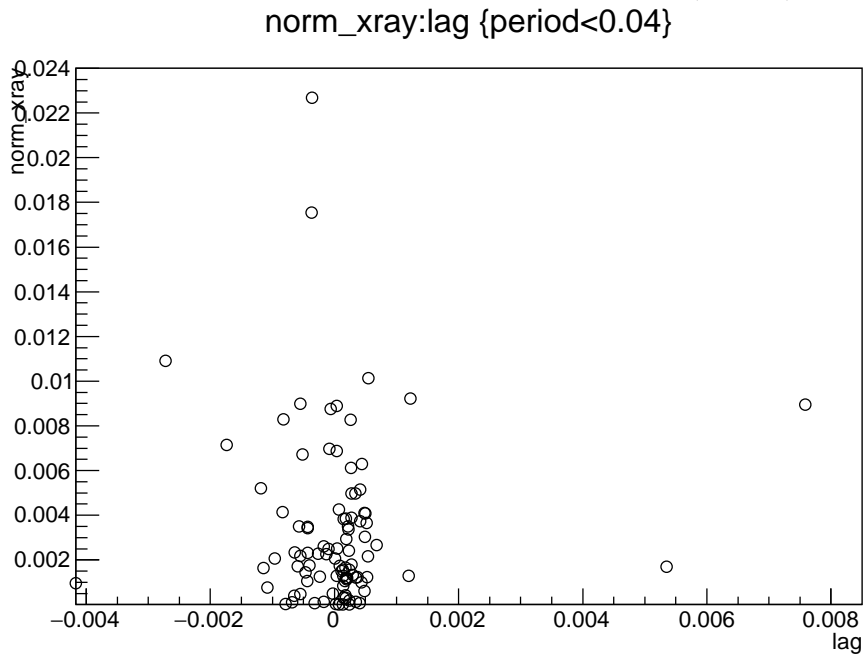
☒ 6: term1, comparison between original and re-constructed light curves
Original (black), Re-const (red)



☒ 7: term2, comparison between original and re-constructed light curves



☒ 8: term1, power of components v.s. lag (optical)



☒ 9: term1, power of components v.s. lag (x-ray)

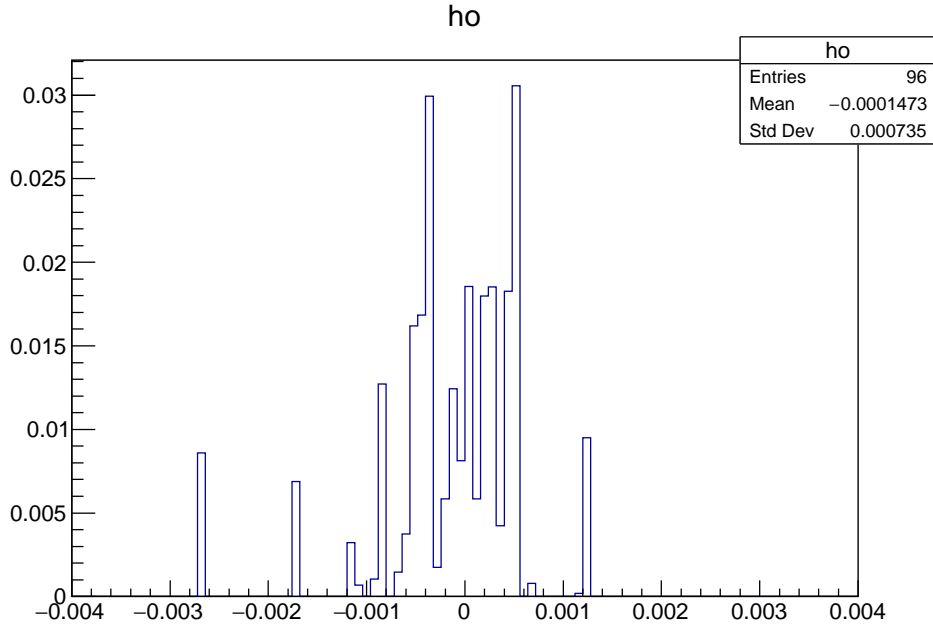


Figure 10: term1, histogram of lag weighted by power of components (optical)

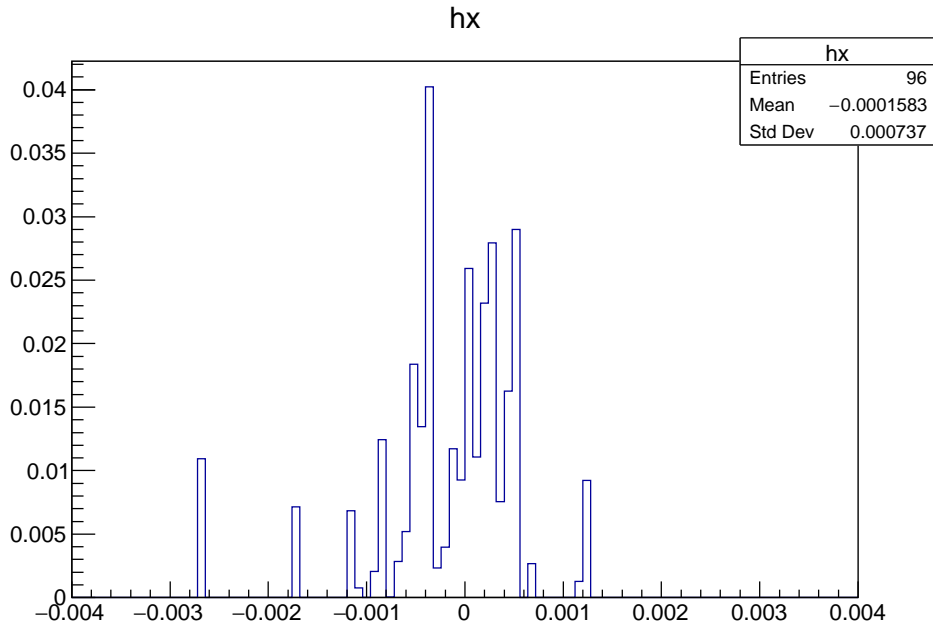


Figure 11: term1, histogram of lag weighted by power of components (X-ray)

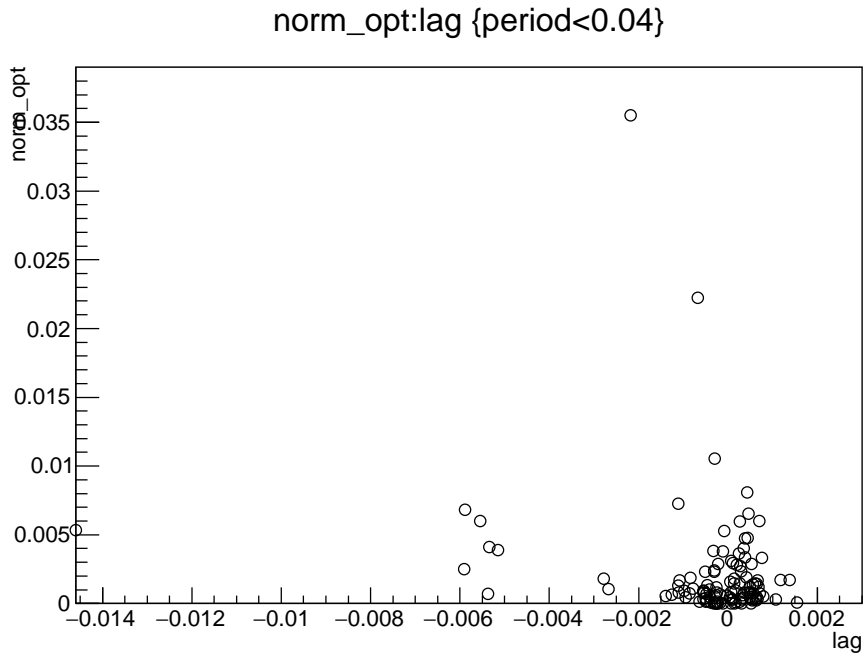


Figure 12: term2, power of components v.s. lag (optical)

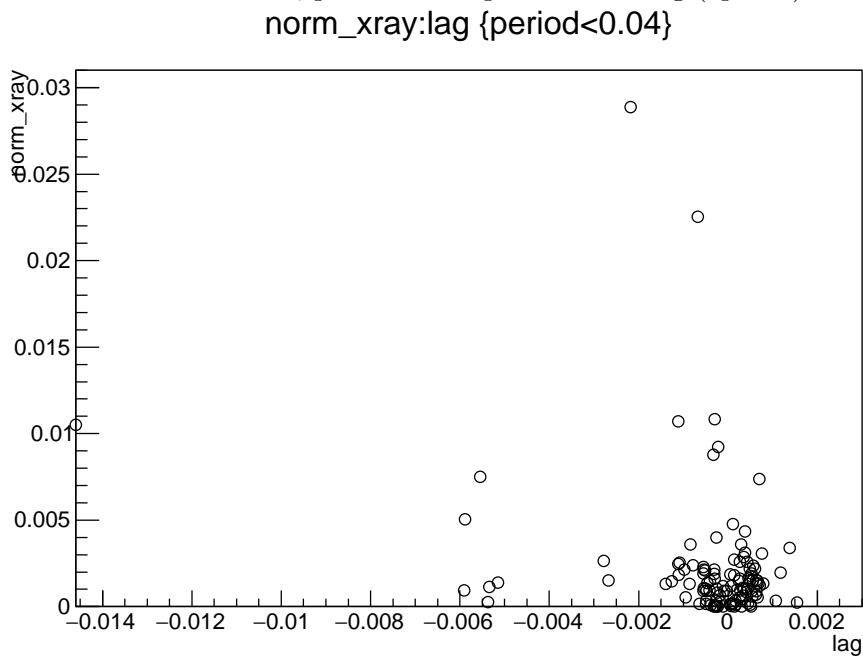
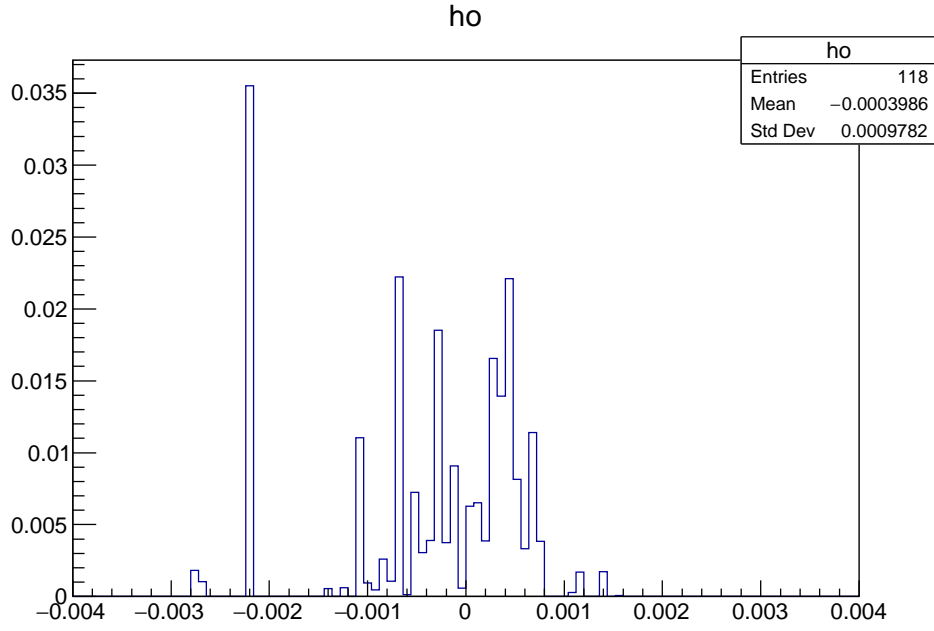
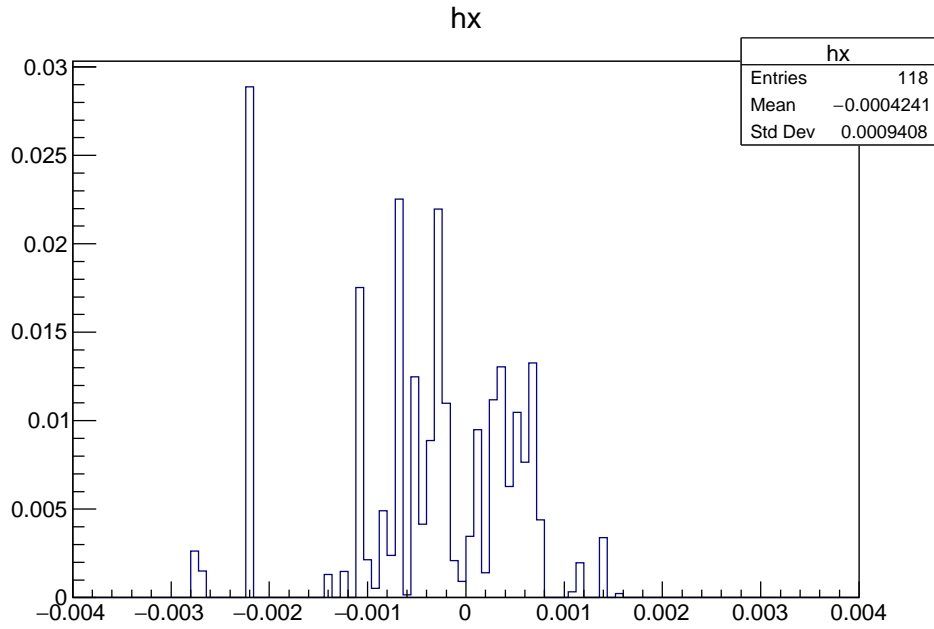


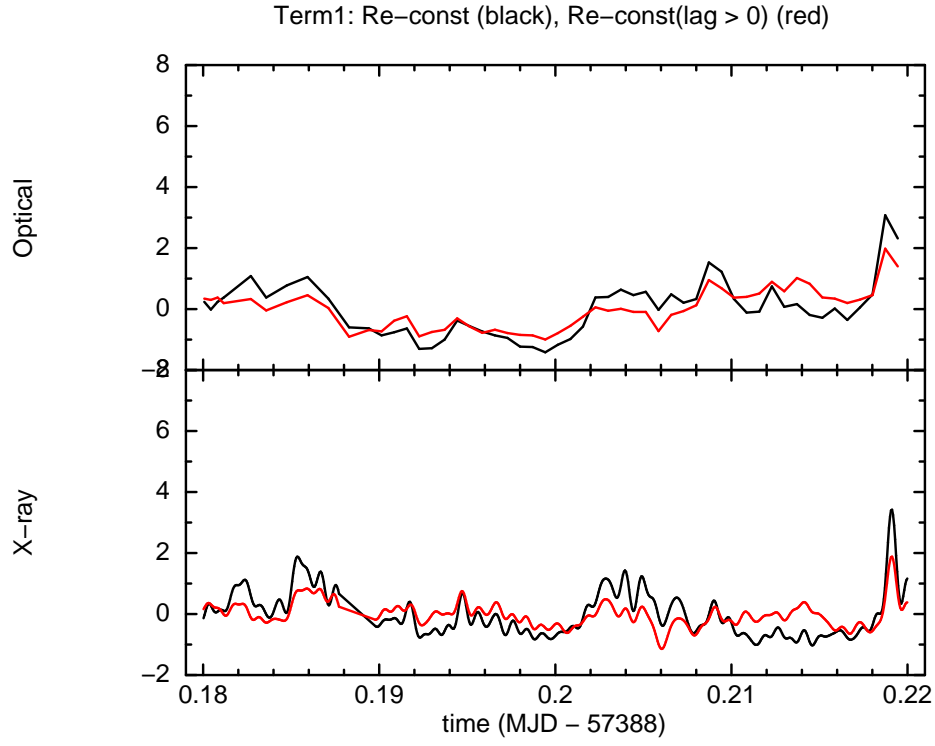
Figure 13: term2, power of components v.s. lag (x-ray)



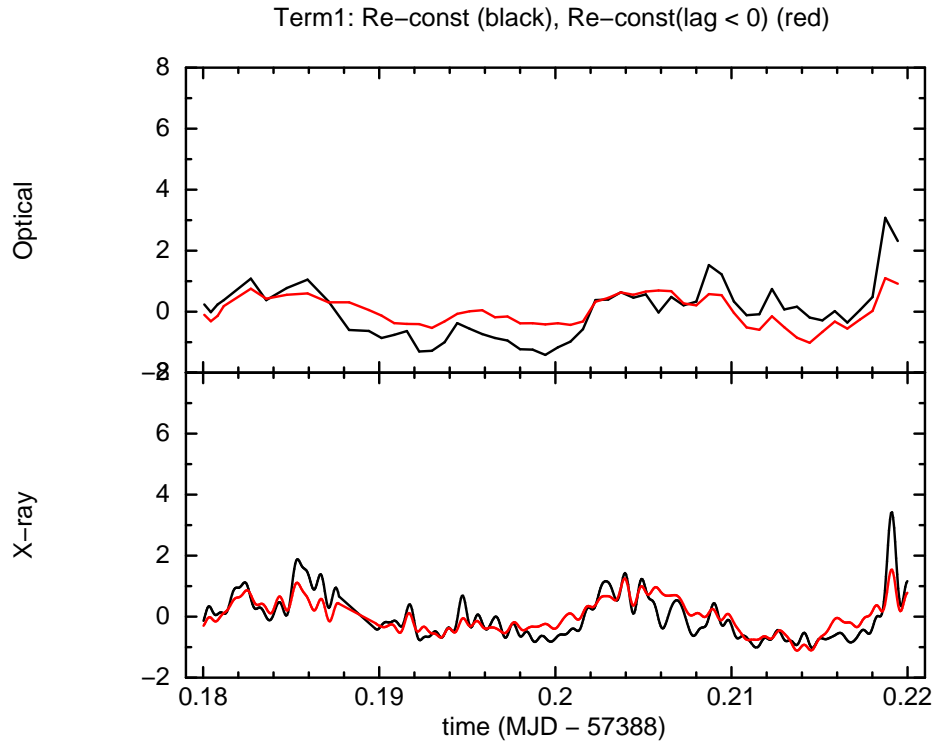
☒ 14: term2, histogram of lag weighted by power of components (optical)



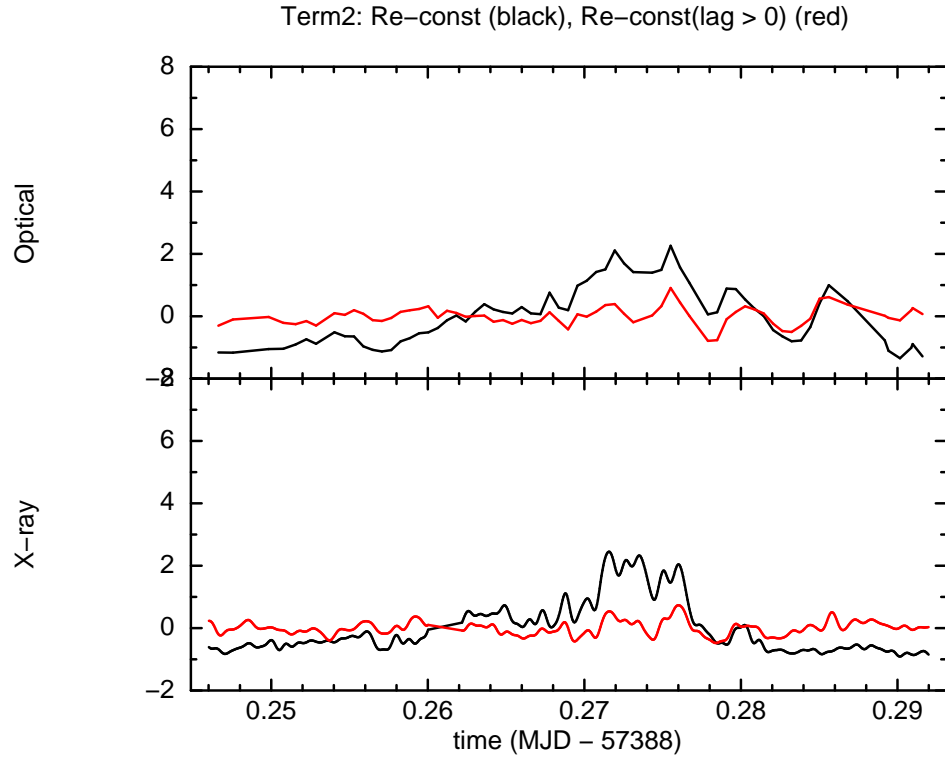
☒ 15: term2, histogram of lag weighted by power of components (X-ray)



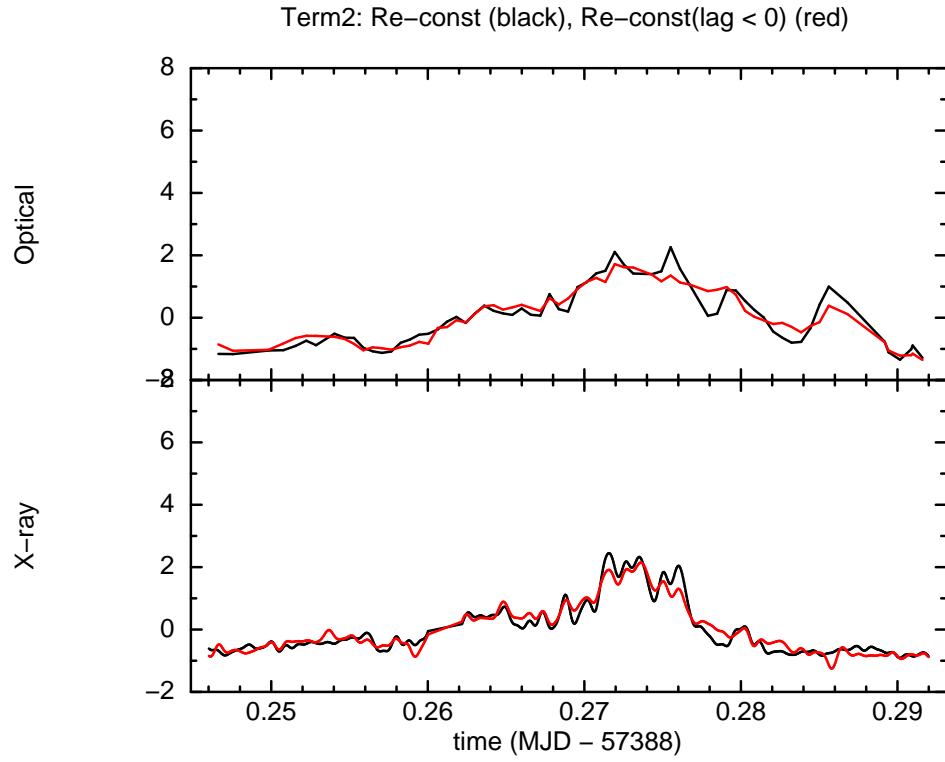
☒ 16: term1, comparison between re-constructed and re-constructed light curves only using lag plus component



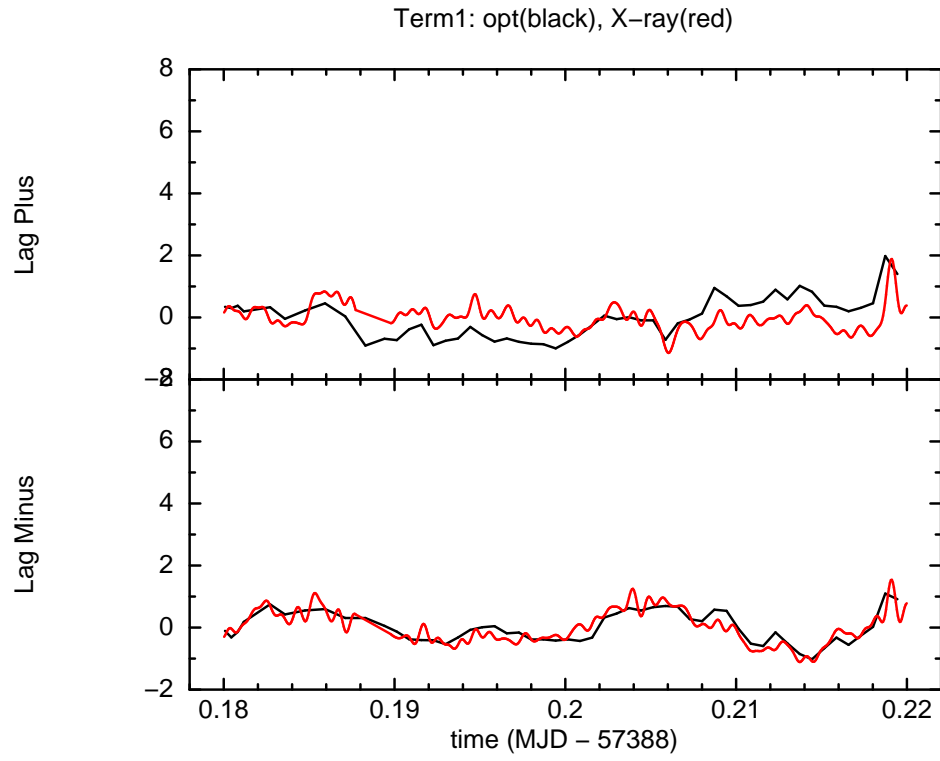
☒ 17: term1, comparison between re-constructed and re-constructed light curves only using lag minus component



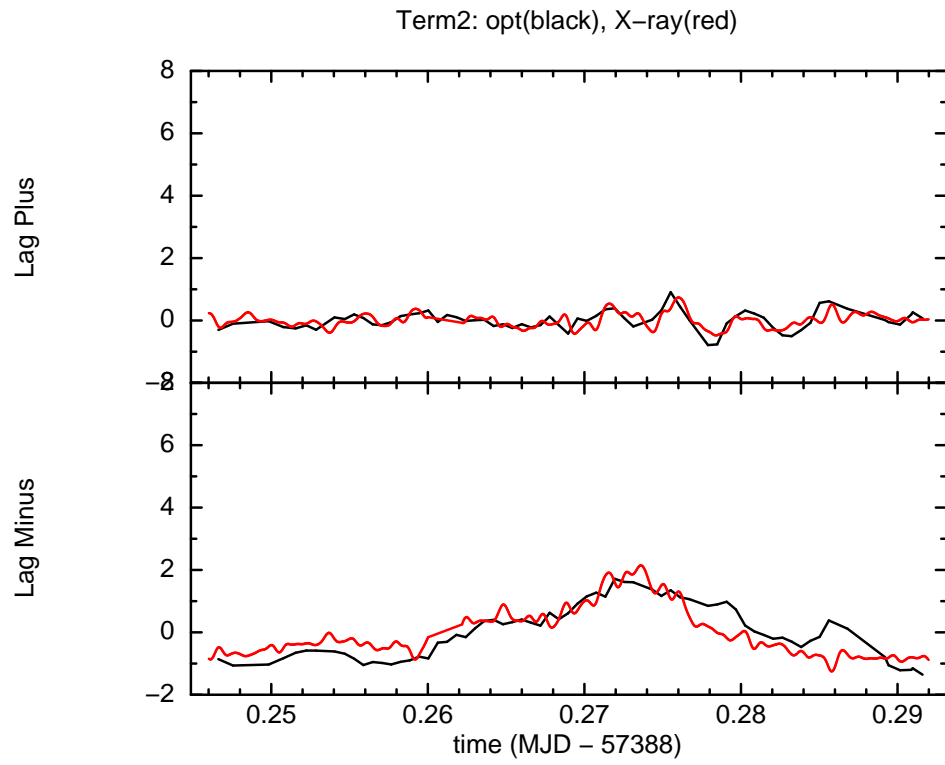
☒ 18: term2, comparison between re-constructed and re-constructed light curves only using lag plus component



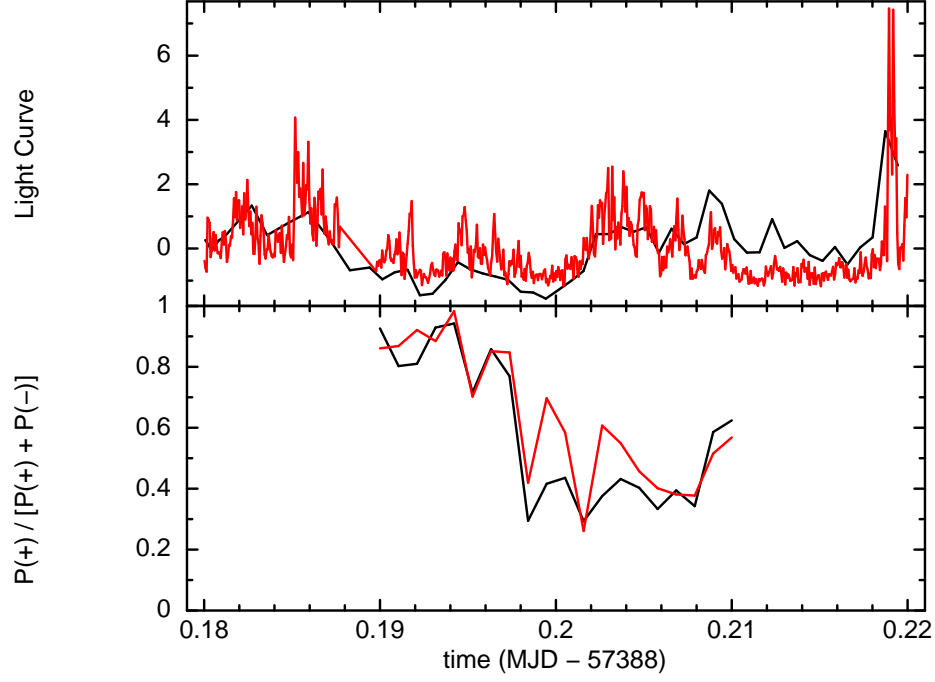
☒ 19: term2, comparison between re-constructed¹⁶ and re-constructed light curves only using lag minus component



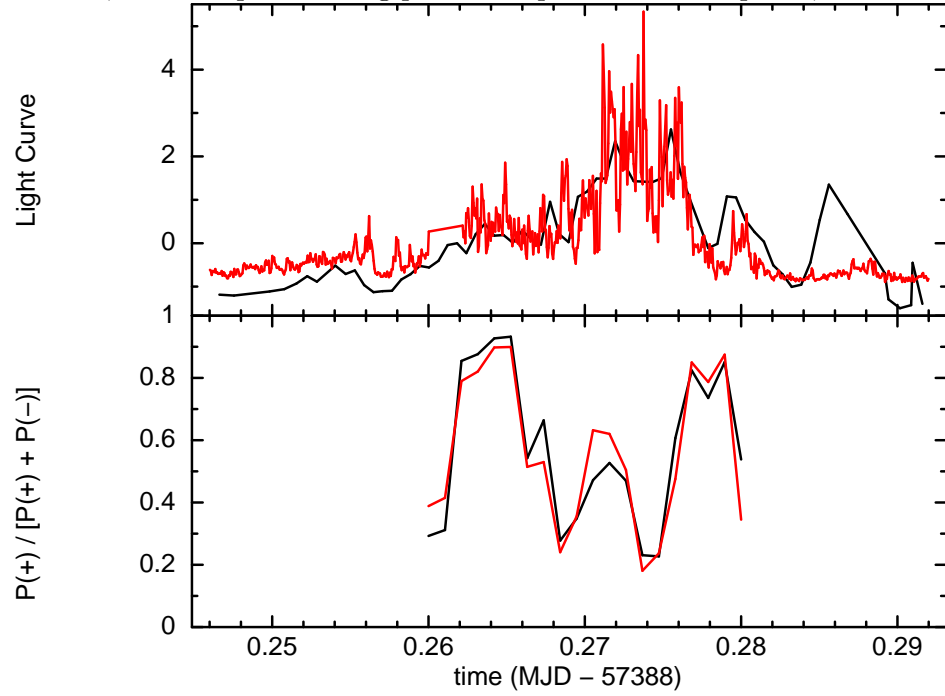
☒ 20: term1, comparison of optical and X-ray light curve for lag plus component and lag minus component



☒ 21: term2, comparison of optical and X-ray light¹⁷ curve for lag plus component and lag minus component



☒ 22: term1, Ratio of power of lag plus in all power. Black: optical, Red: X-ray



☒ 23: term2, Ratio of power of lag plus in all power. Black: optical, Red: X-ray